

用两带 Ginzburg-Landau 理论分析两带超导体 $\text{Lu}_2\text{Fe}_3\text{Si}_5$ 的表面临界磁场^{*}

刘敏霞[†]

(东莞理工学院电子工程系, 东莞 523808)

(2009年4月7日收到; 2010年5月11日收到修改稿)

用两带 Ginzburg-Landau(GL) 理论分析了 $\text{Lu}_2\text{Fe}_3\text{Si}_5$ 的表面临界磁场, 当超导体的表面与任一主晶面重合, 且外磁场平行于超导体的表面时, 比值 H_{c3}/H_{c2} (H_{c2} 是 $\text{Lu}_2\text{Fe}_3\text{Si}_5$ 的上临界磁场) 强烈依赖于温度。当超导体的表面是 bc 平面, 且外磁场平行于超导体的表面时, H_{c3}/H_{c2} 不仅依赖于温度, 还依赖于磁场方向。而对于单带超导体, 这一比值是一常数。

关键词: 两带超导体, GL 理论, $\text{Lu}_2\text{Fe}_3\text{Si}_5$, 表面临界磁场

PACS: 74.20. De, 74.25. Ha, 74.70.-b, 74.60.-w

1. 引言

自从两带超导体 MgB_2 发现以来^[1], 两带超导体的性质^[2-11] 和两带超导理论模型^[12-17] 逐渐被人们所熟知。随着研究的深入, 人们发现, 其他一些超导体的超导电性用两带理论能更好地解释。比如超导体 $\text{Lu}_2\text{Fe}_3\text{Si}_5$ 。 $\text{Lu}_2\text{Fe}_3\text{Si}_5$ 的超导性不同于传统超导体, 比如, $\text{Lu}_2\text{Fe}_3\text{Si}_5$ 的上临界磁场 $H_{c2}(0)$ 比其他含铁超导体的上临界磁场大很多^[18,19], 并且 $\text{Lu}_2\text{Fe}_3\text{Si}_5$ 的上临界磁场对温度的依赖也不同于传统超导体; $\text{Lu}_2\text{Fe}_3\text{Si}_5$ 的比热也明显偏离了 BCS 规律^[20,21]。最近研究表明^[22], $\text{Lu}_2\text{Fe}_3\text{Si}_5$ 具有两个超导能带, 一个是准一维的, 另一个是三维的。Huang 等人^[23] 已经用两带 Ginzburg-Landau(GL) 理论分析了 $\text{Lu}_2\text{Fe}_3\text{Si}_5$ 的上临界磁场和穿透深度, 理论结果和实验结果符合得很好。超导体的上临界磁场一直是研究的热点, 而超导体的表面临界磁场却少有人研究, 据我所知, 到目前为止, 还没有用两带 GL 理论分析 $\text{Lu}_2\text{Fe}_3\text{Si}_5$ 的表面临界磁场的文献。

本文就是用两带 GL 理论来研究 $\text{Lu}_2\text{Fe}_3\text{Si}_5$ 的表面临界磁场。文章第二部分提出了两带模型, 第三部分详细介绍了如何计算 $\text{Lu}_2\text{Fe}_3\text{Si}_5$ 的表面临界磁场,

第四部分给出了 $\text{Lu}_2\text{Fe}_3\text{Si}_5$ 的表面临界磁场的结果以及对结果的讨论, 第五部分对本篇文章进行了总结。

2. 两带层状 GL 理论

在 Askerzade 等人^[24] 的基础上, 考虑到 $\text{Lu}_2\text{Fe}_3\text{Si}_5$ 的两带结构, 设 GL 自由能为

$$F = \int d^3r (F_1 + F_2 + F_{12}) + \int \frac{H^2}{8\pi} d^3r, \quad (1)$$

其中

$$\begin{aligned} F_l &= -\alpha_l |\psi_l|^2 + \frac{1}{2}\beta_l |\psi_l|^4 \\ &+ \sum_{j,k} \frac{\hbar^2}{2} \left[\left(-i \nabla_j - \frac{2e}{c\hbar} \mathbf{A}_j \right) \psi_l \right]^* (m_{jk}^{(l)})^{-1} \\ &\times \left[\left(-i \nabla_k - \frac{2e}{c\hbar} \mathbf{A}_k \right) \psi_l \right], \end{aligned}$$

$$F_{12} = R(\psi_1^* \psi_2 + \psi_1 \psi_2^*),$$

其中 $l=1, 2, j, k=x, y, z$, 下角标 1, 2 分别代表准一维带和三维带, 下角标 12 表示带间相互作用。 F_l 是每个带的自由能, F_{12} 是带间耦合能。 \mathbf{A} 是电磁场的矢量势; \mathbf{H} 是外磁场, 且有 $\mathbf{H} = \nabla \times \mathbf{A}$ 。 $m_{jk}^{(l)}$ 代表第 l ($l=1, 2$) 带内载流子的有效质量张量。系数 α_l 可以近似写做 $\alpha_l = \alpha_{l0}(T - T_{cl})$, 线性依赖于温度。 α_{l0}, β_l 和 R 等均是 GL 理论引入的参数, 且不依

* 国家自然科学基金(批准号:11047150), 东莞市高等院校科技计划项目(批准号:2008108101003)资助的课题。

† E-mail: bgliumx@dgut.edu.cn

赖于温度.

最小化方程(1)

$$\frac{\delta F}{\delta \psi_1^*} = 0, \frac{\delta F}{\delta \psi_2^*} = 0,$$

我们可以得到两带 GL 方程为

$$\begin{pmatrix} \hat{H}_{11} & \hat{H}_{12} \\ \hat{H}_{21} & \hat{H}_{22} \end{pmatrix} \begin{pmatrix} \psi_1 \\ \psi_2 \end{pmatrix} + \begin{pmatrix} \beta_1 + |\psi_1|^2 & 0 \\ 0 & \beta_2 + |\psi_2|^2 \end{pmatrix} \begin{pmatrix} \psi_1 \\ \psi_2 \end{pmatrix} = 0, \quad (2)$$

式中

$$\hat{H}_u = - \sum_{j,k} \frac{\hbar^2}{2} \left(\nabla_j - i \frac{2e}{c\hbar} \mathbf{A}_j \right) (m_{jk}^{(l)})^{-1}$$

$$\times \left(\nabla_k - i \frac{2e}{c\hbar} \mathbf{A}_k \right) - \alpha_l,$$

$$\hat{H}_{12} = \hat{H}_{21} = R.$$

边界条件为

$$(m_{xx}^{(l)})^{-1} \left(\nabla_j - i \frac{2e}{c\hbar} \mathbf{A}_j \right) \psi_l = 0. \quad (3)$$

在上式中, 我们令 x 轴垂直于超导体的表面, 并假设 x 轴与任一主晶轴重合, 有 $(m_{xy}^{(l)})^{-1} = (m_{yx}^{(l)})^{-1} = (m_{xz}^{(l)})^{-1} = (m_{zx}^{(l)})^{-1} = 0$. 假设磁场 \mathbf{H} 平行于超导体的表面沿 z 轴方向, 取规范为 $\mathbf{A} = (0, Hx, 0)$. 与单带情况类似, 考虑到两个带, 我们设波函数为

$$\psi_l = \exp(i k_y y) f_l(x). \quad (4)$$

把上式代入到方程(2)中得

$$\begin{pmatrix} \hat{H}_{11} & \hat{H}_{12} \\ \hat{H}_{21} & \hat{H}_{22} \end{pmatrix} \begin{pmatrix} f_1 \\ f_2 \end{pmatrix} + \begin{pmatrix} \beta_1 + |f_1|^2 & 0 \\ 0 & \beta_2 + |f_2|^2 \end{pmatrix} \begin{pmatrix} f_1 \\ f_2 \end{pmatrix} = 0, \quad (5)$$

其中

$$\hat{H}_{11} = - \frac{\hbar^2}{2m_{xx}^{(1)}} \frac{\partial^2}{\partial x^2} + \frac{\hbar^2}{2m_{yy}^{(1)}} \left(\frac{2eH}{c\hbar} \right)^2 (x - x_0)^2 - \alpha_1,$$

$$\hat{H}_{22} = - \frac{\hbar^2}{2m_{xx}^{(2)}} \frac{\partial^2}{\partial x^2} + \frac{\hbar^2}{2m_{yy}^{(2)}} \left(\frac{2eH}{c\hbar} \right)^2 (x - x_0)^2 - \alpha_2,$$

$$\hat{H}_{12} = \hat{H}_{21} = R,$$

式中 $x_0 = c\hbar k_y / 2eH$. 在半无限大超导体中, x_0 是非常重要的. 此时, 边界条件(3)化为

$$\left. \frac{\partial f_l(x)}{\partial x} \right|_{x=0} = 0, \quad f_l(\infty) = 0. \quad (6)$$

和求上临界磁场相似, 方程(5)有非零解的条件是以方程

$$\begin{pmatrix} \hat{H}_{11} & \hat{H}_{12} \\ \hat{H}_{21} & \hat{H}_{22} \end{pmatrix} \begin{pmatrix} f_1 \\ f_2 \end{pmatrix} = E \begin{pmatrix} f_1 \\ f_2 \end{pmatrix} \quad (7)$$

的最小本征值小于零^[16]. \hat{H}_u 中的势能函数表明, 能级会随着磁场 H 的增大而向上移动, 因此, 方程(7)最小本征值等于零时相应的磁场就是表面临界磁场. 我们知道, 对于单带超导体, 精确值 H_c 可以由韦伯函数来得到, 但是计算太复杂, 而 Kittel^[25] 提出了变分法, 变分法计算简单, 结果只与精确值低 2%^[26]. 因此, 本文采用变分法来求两带超导体 $\text{Lu}_2\text{Fe}_3\text{Si}_5$ 的表面临界场.

3. 两带超导体的表面临界磁场

在 Kittel^[25] 变分函数的基础上, 并考虑到两带结构, 我们设变分函数为

$$f_1(x) = cg_1(x) = c \left(\frac{a}{\pi} \right)^{1/4} \exp \left(- \frac{a}{2} x^2 \right),$$

$$f_2(x) = dg_2(x) = d \left(\frac{b}{\pi} \right)^{1/4} \exp \left(- \frac{b}{2} x^2 \right), \quad (8)$$

a, b, c, d 是正的变化参数. 显然变分函数(8)满足边界条件(6). 引入

$$\begin{aligned} D_{11} &= \int_0^{+\infty} g_1 \hat{H}_{11} g_1 \, dx \\ &= \frac{a\hbar^2}{8m_{xx}^{(1)}} + \frac{H^2 e^2}{c^2 m_{yy}^{(1)}} \left(\frac{1}{2a} - \frac{2x_0}{\sqrt{a\pi}} + x_0^2 \right) - \alpha_1, \quad (9) \\ D_{22} &= \int_0^{+\infty} g_2 \hat{H}_{22} g_2 \, dx \\ &= \frac{a\hbar^2}{8m_{xx}^{(2)}} + \frac{H^2 e^2}{c^2 m_{yy}^{(2)}} \left(\frac{1}{2a} - \frac{2x_0}{\sqrt{a\pi}} + x_0^2 \right) - \alpha_2, \end{aligned} \quad (10)$$

$$\begin{aligned} D_{12} &= \int_0^{+\infty} g_1 \hat{H}_{12} g_2 \, dx = D_{21} = \int_0^{+\infty} g_2 \hat{H}_{21} g_1 \, dx \\ &= \frac{R(ab)^{1/4}}{\sqrt{2(a+b)}}, \end{aligned} \quad (11)$$

系统的最小本征值是以方程

$$\begin{pmatrix} D_{11} & D_{12} \\ D_{21} & D_{22} \end{pmatrix} \begin{pmatrix} c \\ d \end{pmatrix} = \varepsilon \begin{pmatrix} c \\ d \end{pmatrix} \quad (12)$$

的解为

$$\varepsilon_{\min} = \frac{(D_{11} + D_{22}) - \sqrt{(D_{11} - D_{22})^2 + 4D_{12}D_{21}}}{2}. \quad (13)$$

下面我们讨论如何得到表面临界磁场. 首先选择 x_0 , 使 ε_{\min} 最小, 即

$$\frac{\partial \varepsilon_{\min}}{\partial x_0} = 0. \quad (14)$$

求得 x_0 为 a 和 b 的函数. 然后, 把得到的 x_0 代入(13)式中, 选择 a, b 使 ε_{\min} 最小, 即

$$\frac{\partial \varepsilon_{\min}}{\partial a} = 0, \frac{\partial \varepsilon_{\min}}{\partial b} = 0, \quad (15)$$

可以得到 a_m, b_m 作为 H 的函数. 把用上式解得的 a_m 和 b_m 代入(13)式中, 最小本征值等于零时相应的磁场就是表面临界磁场 H_{c3} . 因此, 令

$$\varepsilon_{\min}(H_{c3}, a_m, b_m) = 0, \quad (16)$$

我们就可以得到两带超导体的表面临界磁场.

4. 结果与讨论

为了研究 H_{c3}/H_{c2} , 我们还需要计算上临界磁场 H_{c2} , 当方程(5)中的 $x_0 = 0$ 时, 求得的表面临界磁场就是上临界磁场^[26,17]. 因此, H_{c2} 可以令 $x_0 = 0$, 由方程(15), (16)解得.

对于表面临界磁场, 我们主要讨论两种情况: 1) a, b 和 c 晶轴分别和 x, y 和 z 轴重合; 2) a 晶轴与 x 轴重合, c 晶轴与 z 轴在 yz 平面上有一夹角 ϑ . 值得注意的是, 以上情况均是磁场 H 平行于超导体的平面, 且沿 z 轴方向.

在 1) 情况下, 方程(5)中 $m_{xx}^{(l)} = m_a^{(l)} = m_{yy}^{(l)} = m_b^{(l)}$, 因此 $m_{xx}^{(1)}/m_{yy}^{(1)} = m_{xx}^{(2)}/m_{yy}^{(2)} = 1$, 导致(8)式中 $a = b$, 也就是说, 在这种情况下, 两带波函数的变化幅度是相同的^[17]. 方程组(14), (15), (16)变为

$$D_{22} \frac{\partial D_{11}}{\partial x_0} + D_{11} \frac{\partial D_{22}}{\partial x_0} = 0, \quad (17)$$

$$D_{22} \frac{\partial D_{11}}{\partial a} + D_{11} \frac{\partial D_{22}}{\partial a} = 0, \quad (18)$$

$$D_{11} D_{22} = R^2, \quad (19)$$

式中

$$D_{11} = \frac{a\hbar^2}{8m_a^{(1)}} + \frac{H^2 e^2}{c^2 m_a^{(1)}} \left(\frac{1}{2a} - \frac{2x_0}{\sqrt{a\pi}} + x_0^2 \right) - \alpha_1, \quad (20)$$

$$D_{22} = \frac{a\hbar^2}{8m_a^{(2)}} + \frac{H^2 e^2}{c^2 m_a^{(2)}} \left(\frac{1}{2a} - \frac{2x_0}{\sqrt{a\pi}} + x_0^2 \right) - \alpha_2. \quad (21)$$

因此

$$\frac{\partial D_{11}}{\partial x_0} = \frac{H^2 e^2}{c^2 m_a^{(1)}} \left(-\frac{2}{\sqrt{a\pi}} + 2x_0 \right), \quad (22)$$

$$\frac{\partial D_{22}}{\partial x_0} = \frac{H^2 e^2}{c^2 m_a^{(2)}} \left(-\frac{2}{\sqrt{a\pi}} + 2x_0 \right). \quad (23)$$

把(22)和(23)式代入(17)式中可得 $x_0 = 1/\sqrt{a\pi}$, 再代入到方程(18)中, 则表面临界磁场可以表示为

$$H_{c3} = a \left(\frac{\Phi_0}{2\pi} \right) \sqrt{\frac{\pi}{\pi - 2}}. \quad (24)$$

我们知道, 当 $x_0 = 0$ 时, 从方程(18)可以得到上临界磁场为

$$H_{c2} = a \left(\frac{\Phi_0}{2\pi} \right). \quad (25)$$

比较(24)和(25)式, 我们有

$$\frac{H_{c3}}{H_{c2}} = \sqrt{\frac{\pi}{\pi - 2}} = 1.6589. \quad (26)$$

我们发现在 1) 情况下, 两带超导体的表面临界磁场和单带超导体^[25]的相同, 也是一常数, 如图 1 中虚线所示.

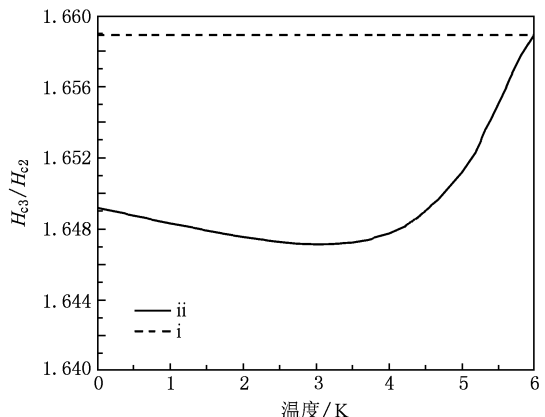


图 1 H_{c3}/H_{c2} 对温度的依赖曲线

在 2) 情况下, 方程(5)中有

$$\frac{1}{m_{xx}^{(l)}} = \frac{1}{m_a^{(l)}}, \frac{1}{m_{yy}^{(l)}} = \frac{\cos^2(\vartheta)}{m_b^{(l)}} + \frac{\sin^2(\vartheta)}{m_c^{(l)}}, \quad (27)$$

因此, 当 $\vartheta \neq 0$ 时, $m_{xx}^{(1)}/m_{yy}^{(1)} \neq m_{xx}^{(2)}/m_{yy}^{(2)}$, 方程(8)中 $a \neq b$ ^[17]. 这时我们不仅要考虑相同能级间的耦合, 还要考虑不同能级间的耦合^[16]. 方程组(14), (15), (16)必须用数值解. 如果我们选择文献[23]中的参数: $m_a^1 = 7.5m_e$, $m_c^1 = m_e$, $m_a^2 = m_e$, $m_c^2 = 1.32m_e$, $\alpha_{10} = 0.23$ meV, $\alpha_{20} = 0.8\alpha_{10}$, $T_c = 6$ K, $T_{c1} = 0.9T_c$, $T_{c2} = 0.41T_c$, 则数值计算的结果如图 1 中实线所示. 从图 1 中可以看出, 两带超导体的表面临界场和上临界场之比 H_{c3}/H_{c2} 强烈依赖于温度, 在 $T \approx 3.2$ K 时, H_{c3}/H_{c2} 有极小值; 在 $T = T_c$ 时, H_{c3}/H_{c2} 有极大值 1.6589. 这主要是由于 H_{c2} 和 H_{c3} 均由准一维带和三维带共同影响, 这就使得 H_{c2} 和 H_{c3} 与温度的关系变得很复杂, 因此 H_{c3}/H_{c2} 依赖于温度也是很

合理了。从图 1 中可以看出,在 2) 情况下 H_{c3}/H_{c2} 的值小于在 1) 种情况下的 H_{c3}/H_{c2} 的值,这一结果与两带超导体 MgB_2 的结果一致。

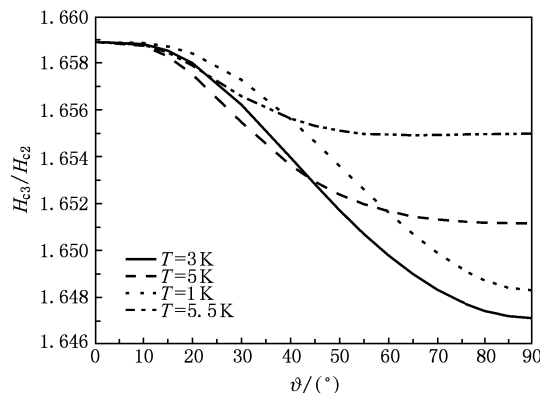


图 2 H_{c3}/H_{c2} 对角度 ϑ 的依赖曲线

同时,我们还计算了 H_{c3}/H_{c2} 随 c 晶轴与 z 轴夹角 ϑ 的变化情况,如图 2 所示。当 $\vartheta < 15^\circ$ 时,无论在 T 为多少,比率 H_{c3}/H_{c2} 的值都近似为一常数,几乎不随 ϑ 而变化。这是由于,在小角度时,准一维带的各向异性几乎等于三维带的各向异性,随着角度 ϑ 的增大,三维带的各向异性几乎不变,而准一维带的各向异性迅速增加,导致准一维带的各向异性和三维带的各向异性差别很大,因此比率 H_{c3}/H_{c2} 依赖于角度 ϑ 。从图 2 中也可以看出, $T = 3\text{ K}$ 的 H_{c3}/H_{c2} 的值小于 $T = 1\text{ K}$, $T = 5\text{ K}$ 和 $T = 5.5\text{ K}$ 的 H_{c3}/H_{c2} 的值,这说明在温度从 0 K 到 3 K 左右, H_{c3}/H_{c2} 是随温度升高而减小的,而在 3 K 左右到 T_c , H_{c3}/H_{c2} 是随着温度升高而增大的,这和图 1 的结果一致。到目前为止,还没有关于超导体 $\text{Lu}_2\text{Fe}_3\text{Si}_5$ 表面临界磁场的实验数据,我们希望本论文的理论结果能对该实

验方面的工作有所帮助。

以上两种情况我们只讨论了主晶平面与超导体表面重合的情况,我们知道,对于强的单带各向异性超导体,当主晶面与超导体的表面有一夹角 β 时,可能存在一临界角度 β_0 ,当 $\beta_0 < \beta < (\pi/2 - \beta_0)$ 时,表面超导性被完全压制^[27]。这个临界角度 β_0 是一常数,且由单带超导体的各向异性来决定。对于 $\text{Lu}_2\text{Fe}_3\text{Si}_5$ 来说,它有两个各向异性参数,上临界磁场各向异性参数和下临界磁场各向异性参数。在求解表面临界磁场时,通常和上临界磁场联系在一起,由于 $\text{Lu}_2\text{Fe}_3\text{Si}_5$ 的上临界磁场各向异性参数较强,因此我们猜测在 $\text{Lu}_2\text{Fe}_3\text{Si}_5$ 超导体中也可能存在临界角 β_0 。如果存在,又由于上临界磁场各向异性参数随温度升高而下降,我们猜测 $\text{Lu}_2\text{Fe}_3\text{Si}_5$ 的 β_0 可能会随温度升高而增加,在某一温度,上临界磁场各向异性参数太小,导致 β_0 消失。但这些都只是我们的猜测,还需要理论和实验进一步的证实。

5. 结 论

本文主要介绍了用两带 GL 理论求解 $\text{Lu}_2\text{Fe}_3\text{Si}_5$ 的表面临界磁场,由于两带 GL 方程的复杂性,我们只研究了磁场平行于超导体的表面并沿 z 轴方向,且超导体的表面和 bc 主晶面重合的情况。我们发现,当 z 轴与 c 主晶轴重合时, H_{c3}/H_{c2} 是常数,与单带超导的结果相同;当 z 轴不与 c 主晶轴重合时, H_{c3}/H_{c2} 依赖于温度,并且小于 z 轴与 c 主晶轴重合时的值,只有在 T_c 时才等于 z 轴与 c 主晶轴重合时的值;当超导体的表面是 bc 平面时, H_{c3}/H_{c2} 还依赖于磁场方向。

- [1] Nagamatsu J, Nakagawa N, Muranaka T, Zenitani Y, Akimitsu J 2001 *Nature* (London) **410** 63
- [2] Canfield P C, Crabtree G W 2003 *Physics Today* March 34
- [3] Bud'ko S L, Kogan V G, Canfield P C 2001 *Phys. Rev. B* **64** 180506
- [4] Welp U, Rydh A, Karapetrov G, Kwok W K, Crabtree G W 2003 *Phys. Rev. B* **67** 012505
- [5] Fletcher J D, Carrington A, Taylor O J, Kazakov S M, Karpinski J 2005 *Phys. Rev. Lett.* **95** 097005
- [6] Shi L B, Ren J Y, Zhang F Y, Zhang G H, Yu Z Q 2007 *Acta Phys. Sin.* **56** 5353 (in Chinese) [史力斌、任骏原、张凤云、张国华、余增强 2007 物理学报 **56** 5353]
- [7] Wang Sh F, Liu Zh, Zhu Y B, Zhou Y L, Chen Zh H, Lü H B, Yang G Zh 2004 *Chin. Phys.* **13** 1120
- [8] Zhang X P, Ma Y W, Gao Zh Sh, Yu Zh G, Watanabe K, Wen H H 2006 *Acta Phys. Sin.* **55** 4873 (in Chinese) [张现平、马衍伟、高召顺、禹争光、Watanabe K、闻海虎 2006 物理学报 **55** 4873]
- [9] Yu Z Q, Wu K, Ma X B, Nie R J, Wang F R 2007 *Acta Phys. Sin.* **56** 512 (in Chinese) [余增强、吴克、马小柏、聂瑞娟、王福仁 2007 物理学报 **56** 512]
- [10] Yang D S, Wu B M, Li B, Zheng W H, Li S Y, Fan R, Chen X H, Cao L Z 2003, *Acta Phys. Sin.* **52** 683 (in Chinese) [杨东升、吴柏枚、李波、郑卫华、李世燕、樊荣、陈仙辉、

- 曹烈兆 2003 物理学报 **52** 683]
- [11] Zhang J, Luo J L, Bai H Y, Chen Z J, Lin D H, Che G C, Ren Z A, Zhao Z X, Jin D 2002 *Acta Phys. Sin.* **51** 342 (in Chinese) [张 杰、雒建林、白海洋、陈兆甲、林德华、车广灿、任治安、赵忠贤、金 锋 2002 物理学报 **51** 342]
- [12] Dao V H, Zhitomirsky M E, *Cond-mat/0504053*
- [13] Zhitomirsky M E, Dao V H, 2004 *Phys. Rev. B* **69** 054508
- [14] Askerzade I N, Gencer A, Guclu N 2002 *Supercond. Sci. Technol.* **15** L13
- [15] Askerzade I N 2005 *JETP Lett.* **81** 583
- [16] Liu M X 2007 *Supercond. Sci. Technol.* **20** 157
- [17] Gorokhov D A 2005 *Phys. Rev. Lett.* **94** 077004
- [18] Stewart G R, Meisner G P, Segre C U 1985 *J. of Low Temp. Phys.* **59** 237
- [19] Umarji A M, Malik S K, Shenoy G K 1985 *J. Appl. Phys.* **57** 3124
- [20] Vining C B, Shelton R N, Braun H F, Peliz-zone M 1983 *Phys. Rev. B* **27** 2800
- [21] Tamegai T, Nakagawa T, Tokunaga M 2007 *Physica C* **460-462** 708
- [22] Gordon R, Vannette M D, Martin C, Nakajima Y, Tamegai T, Prozorov R, arXiv:0801.0269
- [23] Huang H, Liu M X submitted
- [24] Askerzade I N, Gencer A, Guclu N 2002 *Supercond. Sci. Technol.* **15** L17
- [25] De Gennes P G 1966 *Supercond. Met. Alloys* 199
- [26] Tinkham M 1996 *Introduction to Superconductivity* (New York: McGraw-Hill)
- [27] Kogan V G, Clem J R, Deang J M, Gunzburger M D 2002 *Phys. Rev. B* **65** 094514

The two-band Ginzburg-Landau theory analysis of the surface critical field of the two-band superconductor $\text{Lu}_2\text{Fe}_3\text{Si}_5$ *

Liu Min-Xia[†]

(Department of Electronic Engineering, Dongguan University Technology, Dongguan 523808, China)

(Received 7 April 2009; revised manuscript received 11 May 2010)

Abstract

Two-band Ginzburg-Landau (GL) theory is adopted to analyze the surface critical field H_{c3} of $\text{Lu}_2\text{Fe}_3\text{Si}_5$. When the surface of a superconductor coincides with any of crystallographic planes and is parallel to the external magnetic field H , the ratio H_{c3}/H_{c2} (where H_{c2} is the upper critical field of $\text{Lu}_2\text{Fe}_3\text{Si}_5$) is strongly dependent on temperature. When the surface of a superconductor coincides with the bc plane and is parallel to H , the ratio depends not only on temperature, but also on the angle between the c axis and H . However, the ratio is constant for single-band superconductors.

Keywords: two-band superconductors, GL theory, $\text{Lu}_2\text{Fe}_3\text{Si}_5$, surface critical field

PACS: 74.20. De, 74.25. Ha, 74.70.-b, 74.60.-w

* Project supported by the National Natural Science Foundation of China (Grant No. 11047150) and the Science and Technology Foundation of the Higher Education Institutions of Dunguan (Grant No. 2008108101003).

† E-mail: bgliumx@dgut.edu.cn